

建設省 道路局 正員 沢井 広之  
 ノ 近畿地方建設局 ノ 田中 淳之  
 大日本コンサルタント ノ 小神野 竹男

## 1. まえがき

架設段階における吊橋のケーブル、補剛トラスに生ずる変形や応力をに関する研究は少ない。特に架設時の耐風剛性を増すために、補剛トラスを順次に溶合しながら架設する場合には、問題はさらに複雑で、これに適する研究は見当らない。そこで変形理論を用いて、架設各段階ごとの変形や応力を計算し、架設が進むにつれて、これがどのように変動するかを追跡して、架設中の補剛トラスに過大な応力を生じさせないような架設方法、順序を見い出すと共に、完成時に所定の形状を得るために架設各段階ごとのような形状であるべきかを検討した。

## 2. 理論解析

ケーブルに作用する荷重をすべて節点荷重に換算し、ケーブルの形状は各節点間では直線であると仮定する。変形後の状態で節点ごとに力の釣合を考慮し、次に示す修正を行なう。

1) 垂直方向の修正 ケーブルが(図-1)のような荷重を受け変化すると、ケーブル張力は次式となる。  
 $T_i = \frac{M_{max}}{f_{max}} \cdot B_i / (x_{i+1} - x_i)$  ——(1)

ここで  $M_{max}$  : 単純梁としての場合の最大曲げモーメント。  $B_i$  : 変形後のケーブル長。  
 $T_i$  から無応力長  $C_i$  を逆算すると、  $C_i = B_i - T_i \cdot C_i / E_c A_c - d \cdot t \cdot L$  ——(2)  
 となる。これが実際の無応力長  $C_i$  に等しくなければ、

$$\Delta f = \frac{f \cdot \Delta L}{\sqrt{L^2 + 16f^2 + d^2} - L} \quad (3) \quad \text{ここで } L = \int_0^L \sqrt{1 + (\frac{dy}{dx})^2} dx = \int_0^L \sqrt{\frac{4f^2}{d^2} + 1} dx$$

$$\Delta L = \sum_{i=1}^{n-1} (C_i - C_{i+1}) \quad \text{サグを補正し、新しいサグ } f'_{max} = f_{max} - \Delta f \quad (4)$$

を用いて(1)以下を計算し、 $|\Delta f| < \varepsilon_f$ (精度)にならままで繰り返す。

2) 水平方向の修正 1)でケーブル伸びが解ると水平張力  $H_i$  は、

$$H_i = \frac{E_c A_c (B_i - C_i)}{B_i \cdot C_i} (x_{i+1} - x_i) \quad (5) \quad \text{計算しても。この水平張力 } H_i \text{ は、全径間を通じて同じ値ではないといふのが、変形が正しく求められていないともは、} \Delta H_i = |H_i - H_{mean}| > \varepsilon_h \quad (6)$$

の差が残るといふ。この誤差は、ハンガー間隔を補正し、新しいハンガー間隔を

$$x'_i = x_i - \Delta H_i \cdot x_i / E_c A_c \quad (7) \quad \text{ここで } |\Delta H_i| < \varepsilon_h \text{ になると(1)～(7)式を繰り返せばよい。なお、多径間の場合の } \Delta H_i \text{ による } x_i \text{ の修正は全径間を通じて行ない、} \Delta f \text{ の修正は各径間ごとに行なわなければならない。}$$

3) 補剛桁の曲げモーメント 架設完了時のケーブルの矢高  $\gamma$  を  $\gamma_{ci}$ 、ハンガーの伸びを  $\gamma_{hi}$ 、ハンガー間隔を  $I_{xi}$ 、補剛桁の断面二次モーメントを  $I_{xxi}$  とすれば、補剛桁の変形は  $\gamma_{xi} = \gamma_{ci} + \gamma_{hi}$  である。この  $\gamma_{xi}$  によって補剛桁に生ずる曲げモーメント  $K_{xi}$  は次に示す曲げモーメントが生ずる。

$$\begin{bmatrix} M_0 \\ M_1 \\ \vdots \\ M_{n+2} \end{bmatrix} = \begin{bmatrix} K_0, 2(K_0 + K_1), K_1 \\ K_1, 2(K_1 + K_2), K_2 \\ \vdots \\ K_n, 2(K_n + K_{n+1}), K_{n+1} \end{bmatrix}^{-1} \begin{bmatrix} \frac{1}{x_0}, -(\frac{1}{x_0} + \frac{1}{x_1}), \frac{1}{x_1}, \\ \frac{1}{x_1}, -(\frac{1}{x_1} + \frac{1}{x_2}), \frac{1}{x_2}, \\ \vdots \\ \frac{1}{x_n}, -(\frac{1}{x_n} + \frac{1}{x_{n+1}}), K_{n+1} \end{bmatrix} \begin{bmatrix} \gamma_{x0} \\ \gamma_{x1} \\ \vdots \\ \gamma_{x(n+2)} \end{bmatrix} \quad (8)$$

ここで  $K_2 = \frac{I_{xxi}}{6E I_{xxi}}$

4) 荷重の分配 補剛析が補剛されない区間に荷重が載荷されると、その一部  $P_{si}$  は補剛析に作用し、残りの  $P_{ci} = P_i - P_{si}$  はハンガーを伝へてケーブルに作用する。この荷重の配分は、分配ストリックスによることになされる。 $P_{si}$  による補剛析の変形( $\delta_{si}$ )が、ケーブルとハンガーの変形から求めた補剛析の変形( $\delta_{ci} + \delta_{si}$ )と一致すれば、荷重の分配が正しくなされたことになるが、どうでもいい場合は、分配ストリックスで荷重分配率を修正し、 $|\delta_{ci} - (\delta_{ci} + \delta_{si})| < \epsilon$ となるまで繰り返し計算する。

### 3. 計算例

幾つかの吊橋について、架設各段階での変形や架設応力を計算したが、こゝでは(図-2)に示す吊橋について(図-3)の順序で架設して計算例にとりある。この計算例での架設途上に生ずる補剛析最大応力は、設計応力の30%程度、完成時にはほぼ零となる。(図-5参照)。これは主ケーブルのサグ、ハンガーレンなどをあらかじめ調整しておいたためである。しかし補剛析の風洞中や載荷位置の如何によつては、許容応力を上回る応力が生ずることもありうるので、吊橋架設に際しては、架設方法を種々検討し、架設各段階での変形や応力等について危険な状態とならないよう十分な配慮が必要である。なお吊橋架設完了時のケーブル形状は、(図-6)の如くカテナリーに近いことが解った。一般に短径間の吊橋はケーブル自重に比べ吊構造部の死荷重が大きいのでペラボラ形近くなるが、長径間吊橋の場合、カテナリーやペラボラ形もない形状となつてゐるようである。

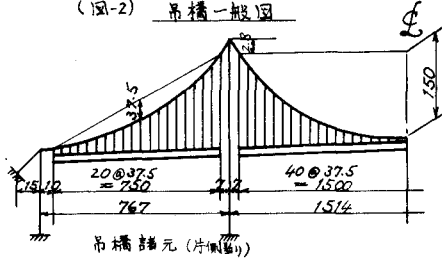
この計算では無応力長を厳密に計算したが、近似的にペラボラと仮定して完成時のケーブル長から单纯に弾性伸び分と差し引いたものを無応力長とした場合の、吊橋完成時の補剛析に生ずる残留応力を計算したもの(図-7)である。但し、この計算での全死荷重は橋軸水平方向に等分布載荷させた。

最後に、プロカラムの開発に終始御援助下さった法政大学大地洋三教授に感謝の意を表します。

#### (参考文献)

- Brotton, D. M. and Arnold - The Solution of Suspension Bridge Problems, The Structural Engineer, London, England, July, 1963.
- Brotton, D. M. - A general Computer Programme for the Solution of Suspension Bridge Problems, Structural Engineer, May, 1966.

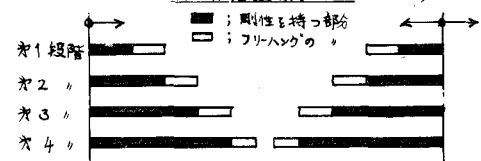
(図-2) 吊橋一般図



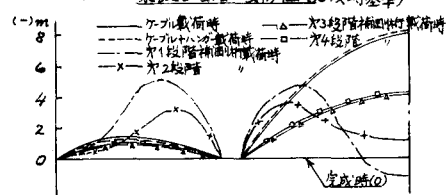
吊橋諸元(片側)

$$A_c = 0.66 \text{ m}^2 \text{ (ケーブル断面積)} \quad W_0 = 5.9\% \text{ (ケーブル単位重量)} \\ I_x = 3.0 \text{ m}^4 \text{ (補剛析のI)} \quad W_{S1} = 4.3^\circ \text{ (補剛析傾角)} \\ W_{S2} = 5.7^\circ \text{ (床版傾角)}$$

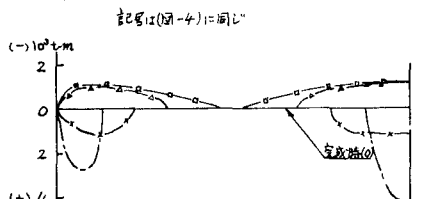
(図-3) 補剛析架設順序図(左右対称)



(図-4) 架設各段階の変形図(完成時基準)



(図-5) 架設各段階の曲げモーメント図



(図-6) 吊橋完成時のケーブル形状図

